

*Предложен аналитический способ расчета случайной погрешности коэффициента передачи многодекадного индуктивного делителя напряжения для области верхних частот с учетом стохастических свойств жгутов. Приведены интервалы погрешностей при доверительной вероятности 0,997.*

Индуктивные делители напряжения (ИДН) относятся к одной из функциональных основных групп средств измерений – меры и цифро-аналоговые преобразователи, в том числе многозначные меры [1]. Для ИДН как многозначной меры отношения переменных напряжений в комплексе нормируемых метрологических характеристик важнейшей является динамическая характеристика.

Во многих измерительных системах ИДН работает при гармонических воздействиях. Для установившегося режима, где ИДН представляет собой линейное динамическое звено, наиболее приемлема амплитудно-частотная характеристика (АЧХ) делителя. Последняя есть зависимость модуля коэффициента передачи ( $K_n = U_{\text{вых}}/U_{\text{вх}}$ , где  $U_{\text{вых}}$  – выходное, а  $U_{\text{вх}}$  – входное напряжение) от круговой частоты  $\omega$  входного сигнала. Для генеральной совокупности ИДН, объединяемых понятием "тип ИДН", нормируют номинальную АЧХ и допускаемые отклонения от неё [1].

В общем случае аналитическое представление коэффициента передачи ИДН имеет вид [2]

$$K_n(j\omega) = K_n[1 + \gamma_a(\omega) + j\gamma_\phi(\omega)],$$

где  $K_n$  – номинальный коэффициент передачи;  $\gamma_a(\omega)$  и  $\gamma_\phi(\omega)$  – амплитудная и фазовая составляющие относительной погрешности.

При пренебрежении  $\gamma_\phi(\omega)$  ввиду малости фазовых сдвигов [3] погрешность коэффициента передачи определяется вещественной составляющей, т.е.  $\gamma_a(\omega)$ .

В работе [4] проведен расчет амплитудной погрешности однодекадного жгутового ИДН, являющейся для указанного типа делителей случайной величиной. Однако наибольшее применение находят многокаскадные ИДН, поэтому определение их погрешностей является весьма актуальной задачей.

Цель данной статьи – получить аналитическое выражение амплитудной погрешности двухдекадного ИДН с учетом стохастических свойств жгутов.

Среди многокаскадных делителей значительный интерес представляют многодекадные ИДН, в которых каскады выполняются путем намотки двух делительных (декадных) обмоток на одном (общем) ферромагнитном тороидальном сердечнике TV1 (рис. 1). Отводы первой декадной обмотки  $L1$  и второй  $L2$  коммутируются многопозиционными переключателями  $S1$  и  $S2$ . При таком способе выполнения и соединения декад необходимо, чтобы число витков обмотки  $L1$  в десять раз превышало число витков обмотки  $L2$ . Очевидно, что из-за конструктивных усложнений размещение на общем сердечнике более двух декад нерационально.

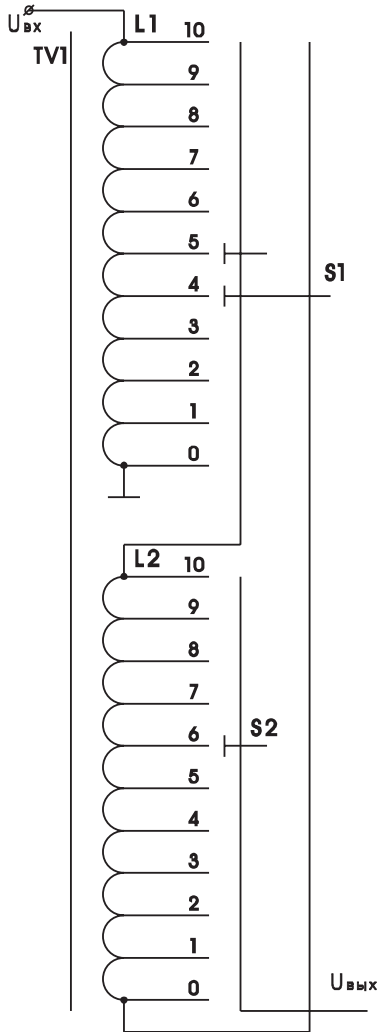


Рис. 1. Принципиальная схема двухдекадного ИДН

При преобразовании принципиальной схемы в эквивалентную (рис. 2) учтем, что из-за общего магнитного потока ЭДС второй обмотки равна напряжению секции первой обмотки, т.е.  $0,1U_{вх}$ .

Расчет погрешностей двухдекадного ИДН для нормальных условий применения в областях верхних частот (20...200 кГц) проведем при следующих допущениях:

1. индуктивности и активные сопротивления соединительных проводов и коммутационных элементов равны нулю;
2. емкостные проводимости между обмотками и обмотками и сердечником равны нулю;
3. импеданс нагрузки  $Z_{н \rightarrow \infty}$ ;
4. ЭДС секций в каждой делительной обмотке одинаковы.

Тогда в расчетной схеме (рис. 2) учитываем только индуктивности рассеяния секций первой  $L_{s1}$  и второй  $L_{s2}$  декад, а также межпроводные емкости жгутов  $C_1, C_2$ . Длина жгута второй обмотки в десять раз меньше длины жгута первой обмотки. При одинаковом диаметре проводов жгутов параметры второй декады также будут меньше в десять раз.

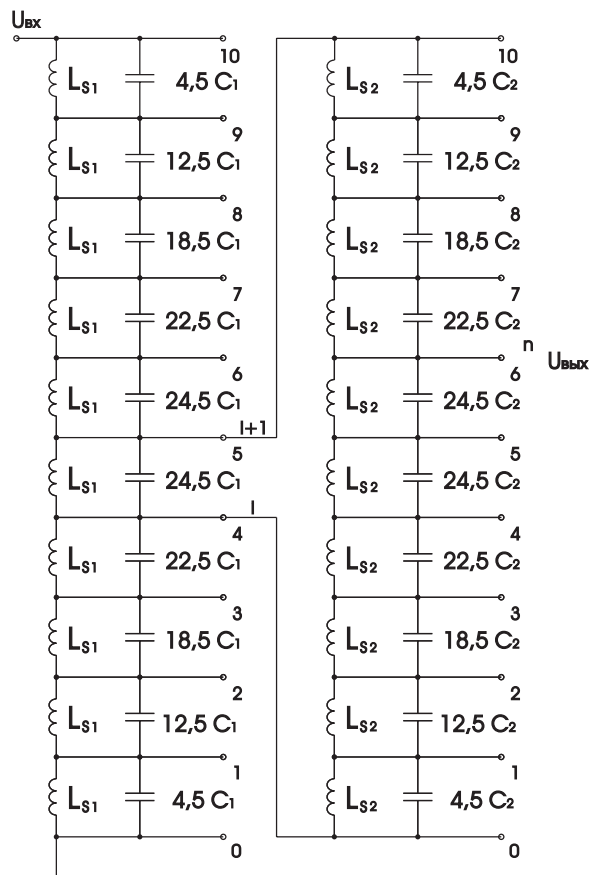


Рис. 2. Упрощенная эквивалентная схема ИДН

Следовательно, малая входная емкость второй декады, определяющая входной импеданс этой декады в области верхних частот, практически не оказывает существенного влияния на точность первой декады. В этом случае полагаем, что первая декада работает в ненагруженном режиме. Тогда для расчета напряжений на отводах первой декады можно использовать формулу [4]

$$U_{выхi} = \frac{L_{2,i}}{L_{1,i} + L_{2,i}} \times \left[ 1 + \omega^2 L_{1,i} \left( \frac{L_{2,i}}{L_{1,i} + L_{2,i}} - 1 \right) C_{1,i} + \frac{\omega^2 L_{1,i} L_{2,i}}{L_{1,i} + L_{2,i}} \cdot C_{2,i} \right] U_{вх},$$

где  $i=(\overline{1,10})$  – номер отвода;  $L_{1,i}, L_{2,i}$  – эквивалентные индуктивности рассеяния и  $C_{1,i}, C_{2,i}$  – эквивалентные емкости секций, включенных соответственно между отводами  $i, 10$  и  $0, i$ .

Эквивалентные параметры в свою очередь определяются в виде

$$L_{1,i} = \sum_{m=i+1}^{10} L_{s1m}, \quad L_{2,i} = \sum_{m=1}^i L_{s2m},$$

$$C_{1,i} = (10-i)^{-2} \sum_{m=i+1}^{10} C_{1m}, \quad C_{2,i} = i^{-2} \sum_{m=1}^i C_{2m}, \quad (1)$$

где  $L_{s1m}$  и  $C_{1m}$  – индуктивность рассеяния и шунтирующая емкость  $m$ -й секции;  $m=(\overline{1,10})$ .

Заметим, что параметры второй декады определяются по (1) заменой  $L_{s1m} \rightarrow L_{s2m}$ ,  $C_{1m} \rightarrow C_{2m}$ ,  $i \rightarrow n$ , где  $n = (\overline{1, 10})$  – номер отвода второй декады.

Схемы декад идентичны, поэтому выходное напряжение ИДН, как напряжение на отводе  $n$  второй декады относительно отвода 0 первой декады, определяется в виде

$$\begin{aligned} U_{\text{вых}} &= U_{\text{вых } i, n} = U_{\text{вых } i} + U_{\text{вых } n} = \\ &= U_{\text{вх}} \left\{ \frac{L_{2,i}}{L_{1,i} + L_{2,i}} \left[ 1 + \omega^2 L_{1,i} \left( \frac{L_{2,i}}{L_{1,i} + L_{2,i}} - 1 \right) \times \right. \right. \\ &\quad \left. \left. \times C_{1,i} + \frac{\omega^2 L_{1,i} L_{2,i}}{L_{1,i} + L_{2,i}} \cdot C_{2,i} \right] + \right. \\ &\quad \left. + \left[ \frac{L_{2,i+1}}{L_{1,i} + L_{2,i}} \left[ 1 + \omega^2 L_{1,i+1} \left( \frac{L_{2,i+1}}{L_{1,i} + L_{2,i}} - 1 \right) \times \right. \right. \right. \\ &\quad \left. \left. \times C_{1,i+1} + \frac{\omega^2 L_{1,i+1} L_{2,i+1}}{L_{1,i} + L_{2,i}} \cdot C_{2,i+1} \right] - \right. \\ &\quad \left. - \frac{L_{2,i}}{L_{1,i} + L_{2,i}} \left[ 1 + \omega^2 L_{1,i} \left( \frac{L_{2,i}}{L_{1,i} + L_{2,i}} - 1 \right) \times \right. \right. \\ &\quad \left. \left. \times C_{1,i} + \frac{\omega^2 L_{1,i} L_{2,i}}{L_{1,i} + L_{2,i}} \cdot C_{2,i} \right] \right\} \frac{L_{2,n}}{L_{1,n} + L_{2,n}} \times \\ &\quad \times \left[ 1 + \omega^2 L_{1,n} \left( \frac{L_{2,n}}{L_{1,n} + L_{2,n}} - 1 \right) C_{1,n} + \frac{\omega^2 L_{1,n} L_{2,n}}{L_{1,n} + L_{2,n}} \cdot C_{2,n} \right]. \end{aligned}$$

Из этого выражения после преобразований получаем формулу амплитудной погрешности двух-декадного делителя

$$\begin{aligned} \gamma_{i,n} &= -\omega^2 \times \\ &\times \frac{(9-i)^2 (10-i)^{-2} L_{1,i}^2 L_{2,i} L_{1,n} + L_{1,i+1}^2 L_{2,i+1} L_{2,n}}{(L_{1,i} + L_{2,i}) [L_{2,i} (L_{1,n} + L_{2,n}) + 0,1 L_{2,n} (L_{1,i} + L_{2,i})]} \times \\ &\quad \times C_{1,i+1} + \omega^2 \times \\ &\times \frac{(i+1)^2 i^{-2} L_{1,i}^2 L_{2,i} L_{1,n} + L_{1,i+1}^2 L_{2,i+1} L_{2,n}}{(L_{1,i} + L_{2,i}) [L_{2,i} (L_{1,n} + L_{2,n}) + 0,1 L_{2,n} (L_{1,i} + L_{2,i})]} \times \\ &\quad \times C_{2,i+1} - \omega^2 \times \\ &\times \frac{(10-i)^{-2} L_{1,i}^2 L_{2,i} L_{1,n} + i^{-2} L_{1,i}^2 L_{2,i} L_{1,n}}{(L_{1,i} + L_{2,i}) [L_{2,i} (L_{1,n} + L_{2,n}) + 0,1 L_{2,n} (L_{1,i} + L_{2,i})]} \times \\ &\quad \times C_{i+1} - \omega^2 \times \\ &\times \frac{L_{1,n}^2 L_{2,n} (L_{1,i} + L_{2,i})}{10(L_{1,n} + L_{2,n}) [L_{2,i} (L_{1,n} + L_{2,n}) + 0,1 L_{2,n} (L_{1,i} + L_{2,i})]} \times \\ &\quad \times C_{1,n} + \omega^2 \times \\ &\times \frac{L_{1,n}^2 L_{2,n} (L_{1,i} + L_{2,i})}{10(L_{1,n} + L_{2,n}) [L_{2,i} (L_{1,n} + L_{2,n}) + 0,1 L_{2,n} (L_{1,i} + L_{2,i})]} \times (2) \\ &\quad \times C_{2,n}. \end{aligned}$$

Амплитудная погрешность, как следует из (1) и (2), зависит от индуктивностей рассеяния секций и межпроводных емкостей жгутов. Как показано в работах [2, 5] на значения межпроводных емкостей

и индуктивностей рассеяния влияет качество изготовления жгута. Несмотря на тщательное скручивание проводов в жгуте, не удастся достичь полного выравнивания указанных выше параметров. Разброс параметров жгута и случайная последовательность соединения проводов делительной обмотки обуславливают случайный характер амплитудной погрешности. Заметим, что параметры жгутов отличаются высокой временной и температурной стабильностью. Поэтому полагаем амплитудную погрешность не случайным процессом, а многомерной случайной величиной, зависящей от двадцати индуктивностей рассеяния и двадцати шунтирующих емкостей секций.

Расчет амплитудной погрешности практически не выполним, так как требуется знание совместной функции распределения сорока случайных величин. Очевидно, что решение задачи возможно лишь при некоторых упрощающих допущениях. Воспользуемся, например, критерием существенности случайной составляющей погрешности [1].

Так амплитудную погрешность (2), обусловленную разбросом параметра секции полагаем пренебрежимо малой, если среднее квадратическое отклонение (СКО) параметра не превышает 10 % среднего значения.

В работе [5] приведены результаты исследований различных жгутов, показывающие, что СКО индуктивностей рассеяния не превышает 6 %, тогда как СКО межпроводных емкостей достигает 20 %. Эти данные подтверждены измерениями параметров более 100 жгутов, проведенными автором [4].

Тогда, если не учитывать влияние индуктивности рассеяния, случайная погрешность коэффициента передачи ИДН будет зависеть только от статистических свойств емкости между двумя проводами многопроводного жгута.

В выражении (2) суммирование случайных величин необходимо проводить с учетом степени их коррелированности. Емкости разных жгутов считаем независимыми случайными величинами. В работе [4] показано, что емкости в жгуте являются зависимыми случайными величинами с сильной обратной корреляцией, т.е. с коэффициентами корреляции  $R[C_{(i)} C_{(j)}] = -1$ .

С учетом этого из (2) получаем следующее выражение для дисперсии амплитудной погрешности

$$\begin{aligned} D[\gamma_{i,n}] &= A_i^2 D[C_{1,i+1}] + B_i^2 D[C_{2,i+1}] + \\ &+ Q_i^2 D[C_{i+1}] - 2A_i B_i \sqrt{D[C_{1,i+1}] D[C_{2,i+1}]} - \\ &- 2A_i Q_i \sqrt{D[C_{1,i+1}] D[C_{i+1}]} - \\ &- 2B_i Q_i \sqrt{D[C_{2,i+1}] D[C_{i+1}]} + S_i^2 D[C_{1,n}] + \\ &+ T_i^2 D[C_{2,n}] - 2S_i T_i \sqrt{D[C_{1,n}] D[C_{2,n}]}, \end{aligned} \quad (3)$$

где

$$A_i = -\omega^2 \cdot \frac{(9-i)^2 (10-i)^{-2} L_{1,i}^2 L_{2,i} L_{1,n} + L_{1,i+1}^2 L_{2,i+1} L_{2,n}}{(L_{1,i} + L_{2,i}) [L_{2,i} (L_{1,n} + L_{2,n}) + 0,1 L_{2,n} (L_{1,i} + L_{2,i})]};$$



